

**Fig. 1**  
*Prior art*

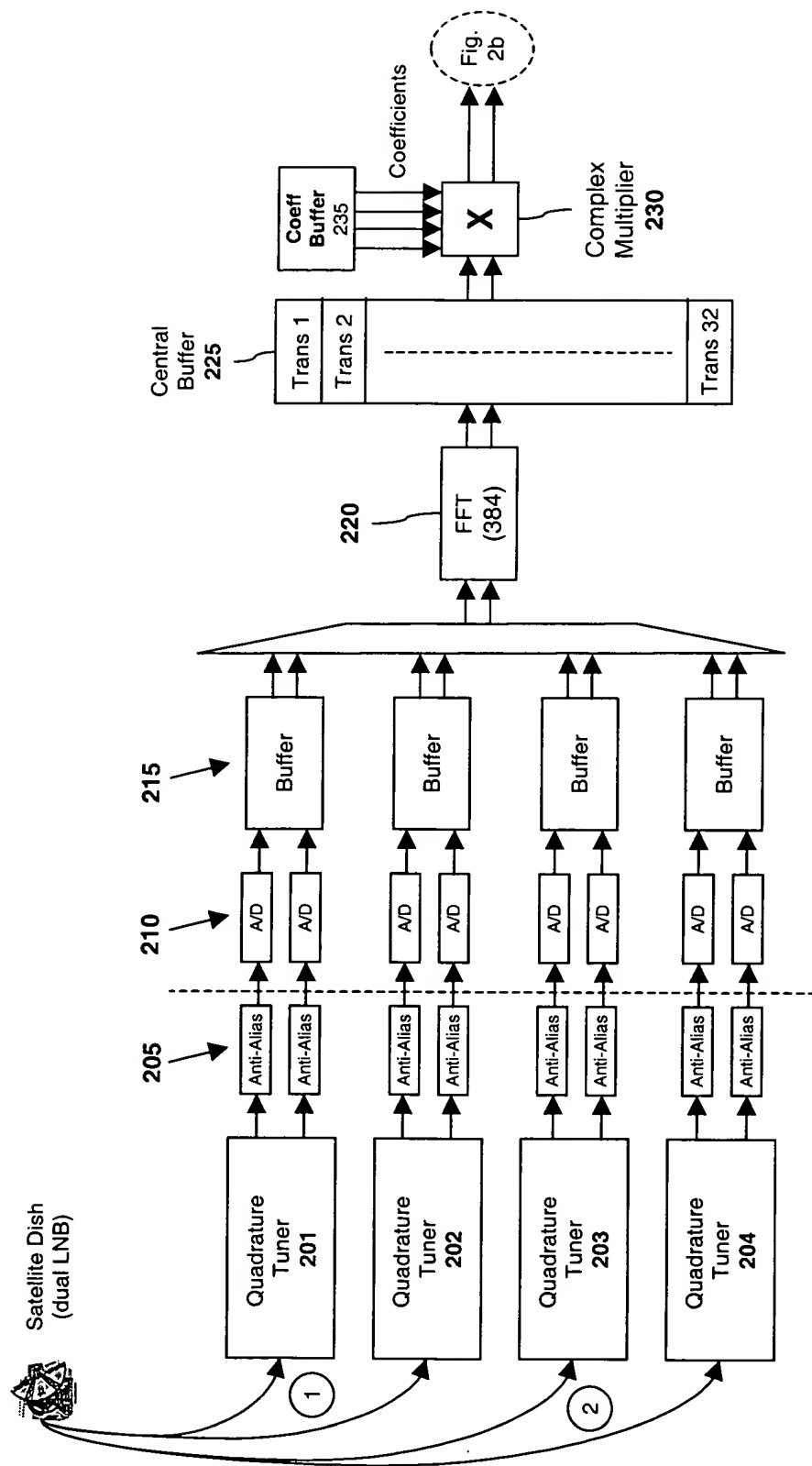


Fig. 2a

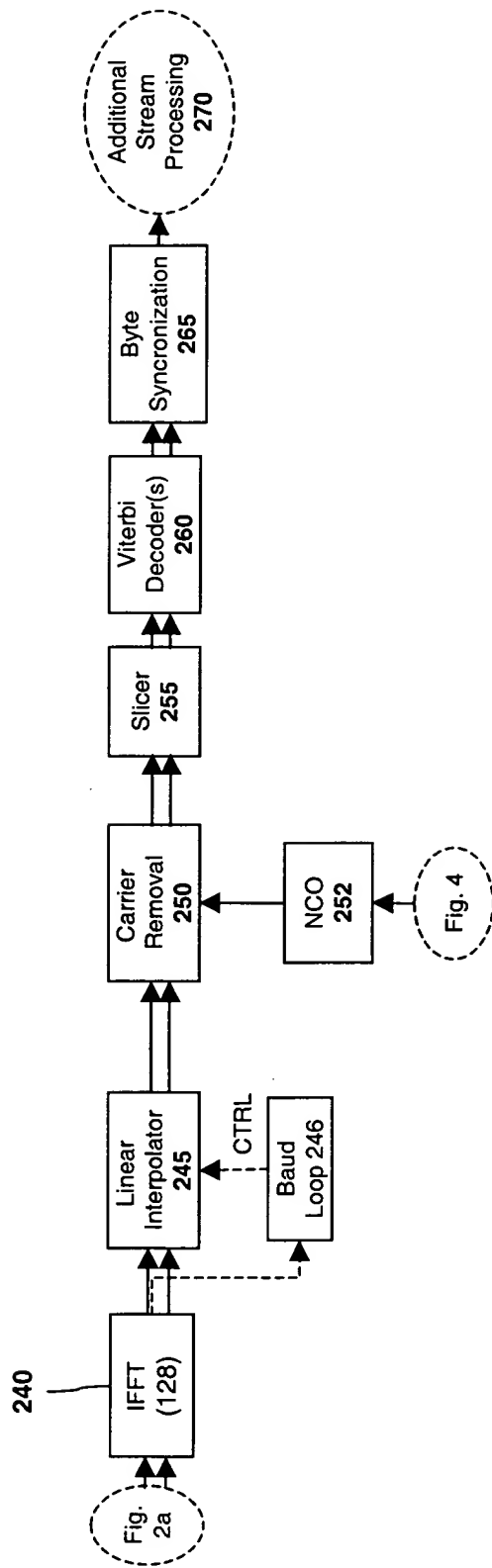


Fig. 2b

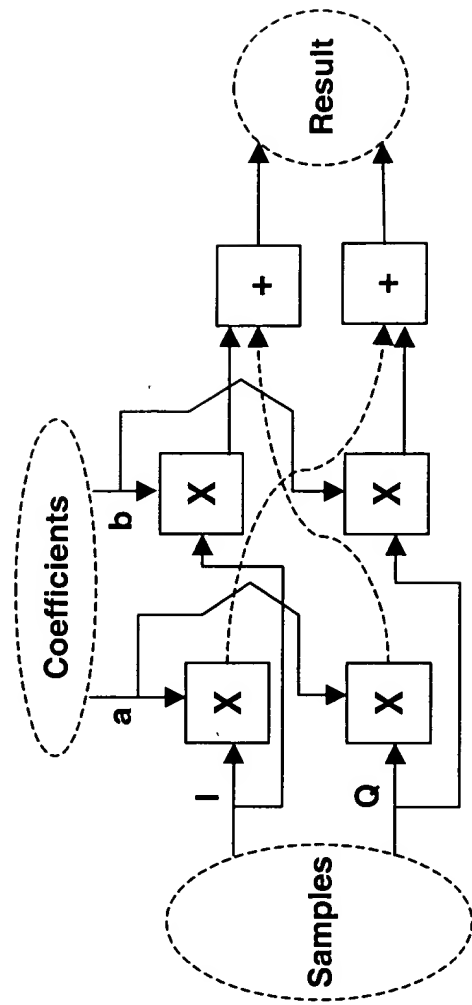
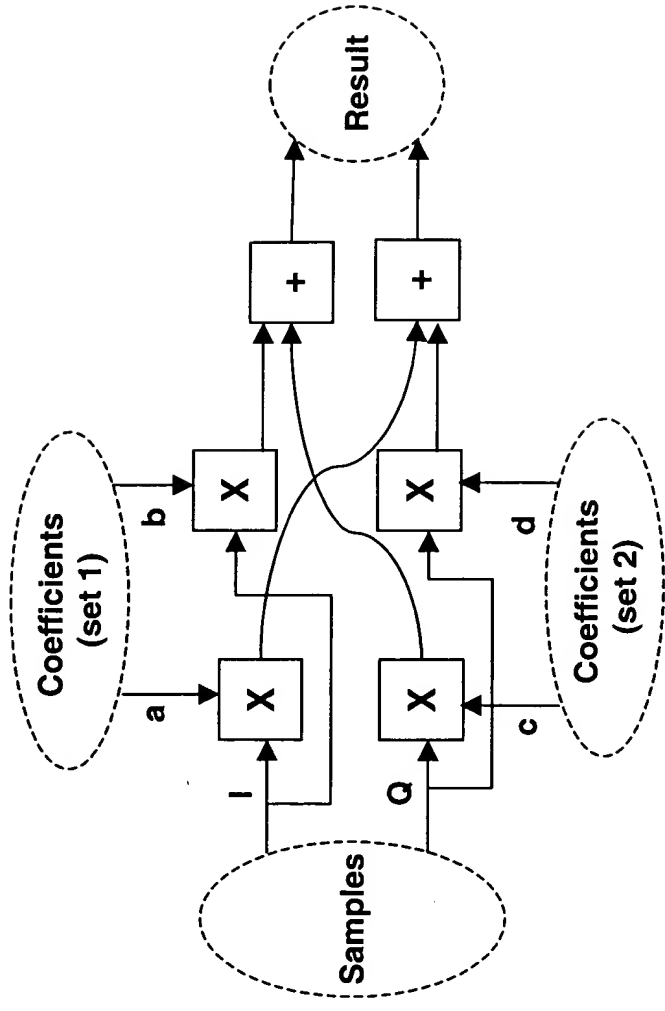
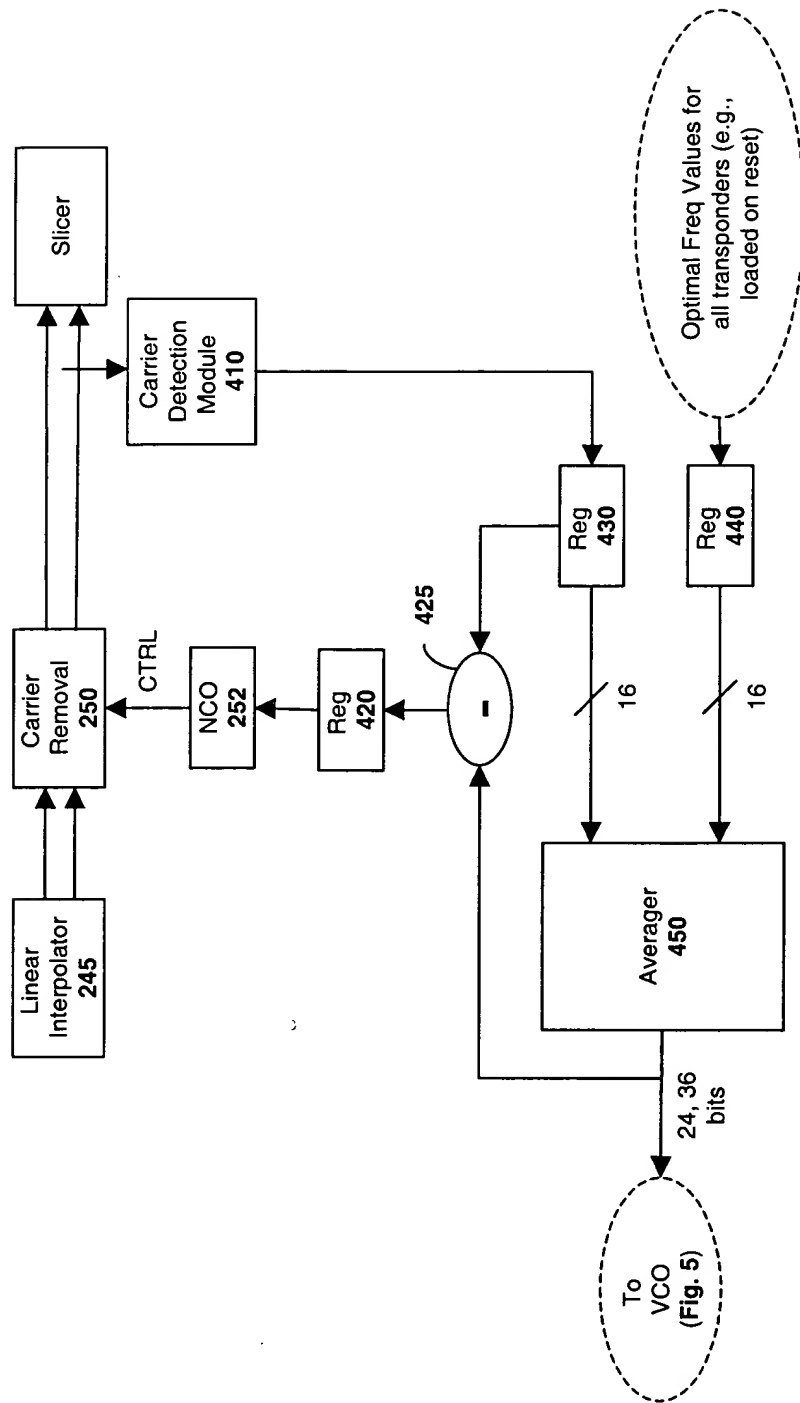


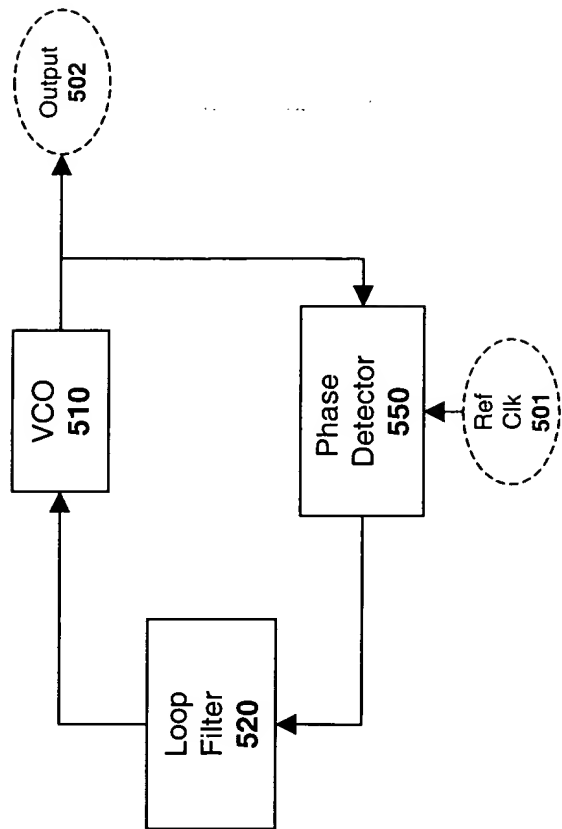
Fig. 3a



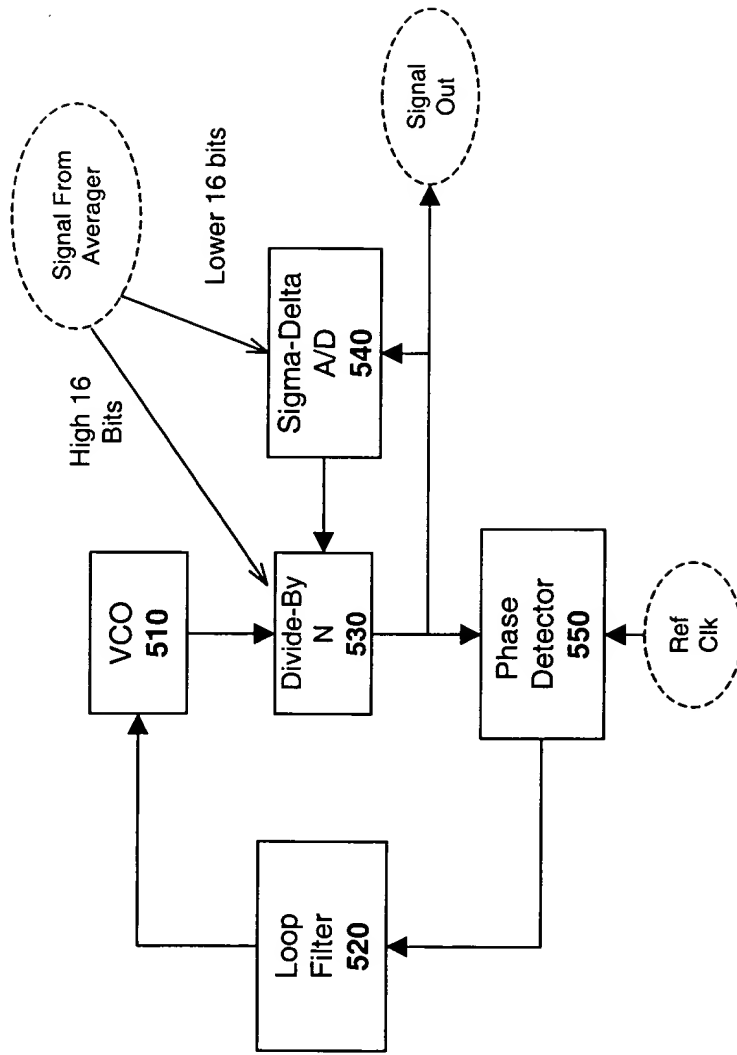
**Fig. 3b**



**Fig. 4**

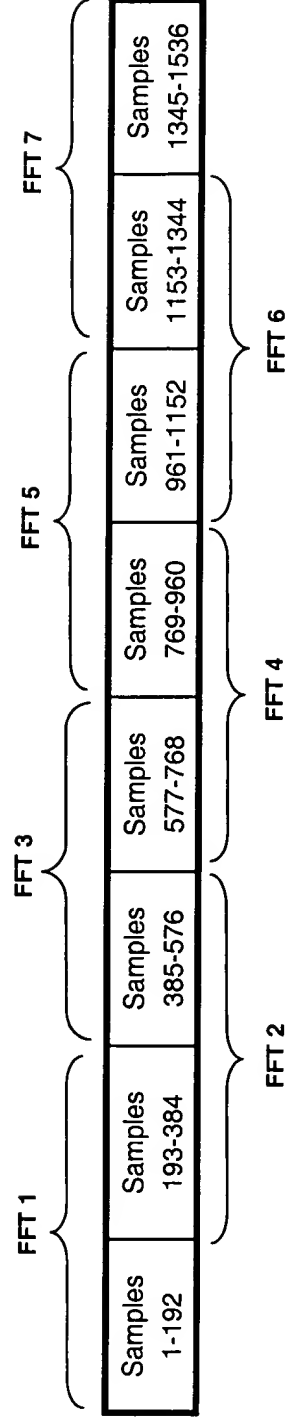


**Fig. 5a**



**Fig. 5b**





**Fig. 6**  
FFT Input Data

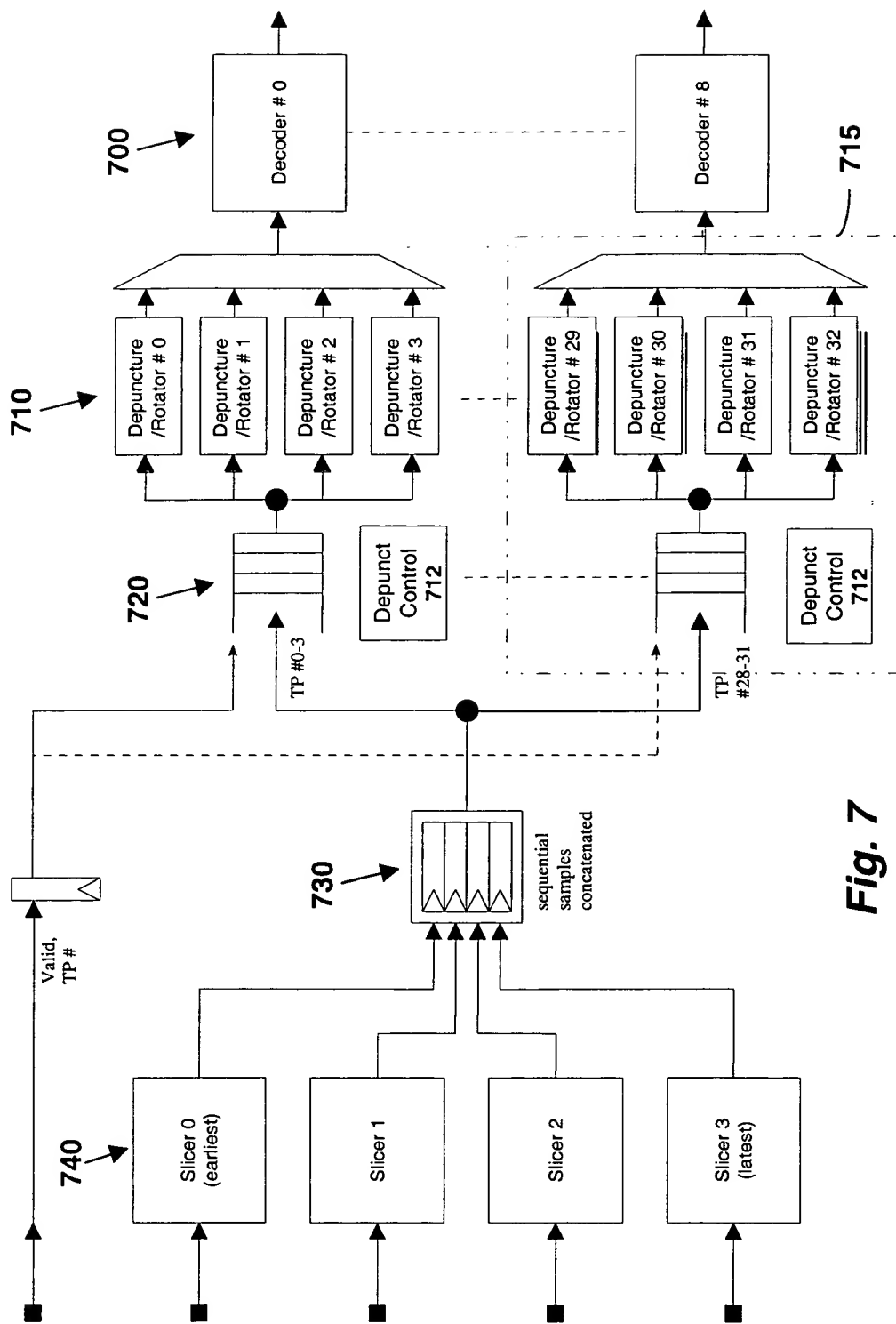


Fig. 7

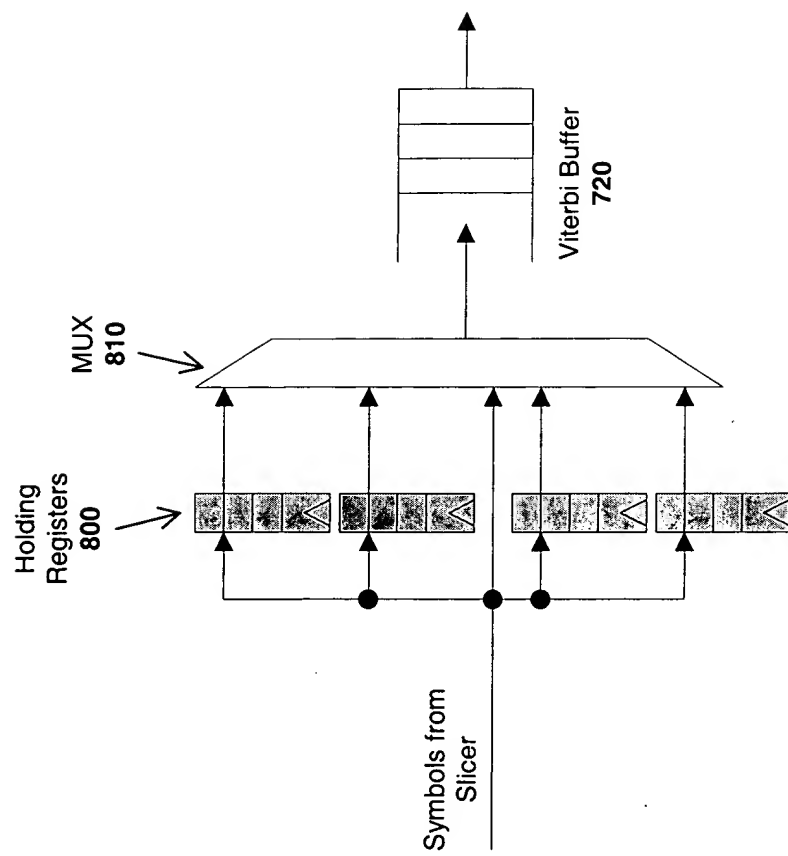
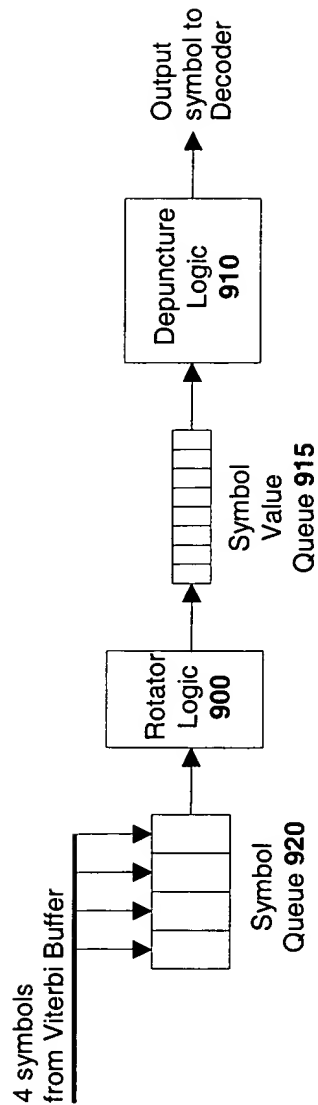


Fig. 8



**Fig. 9**

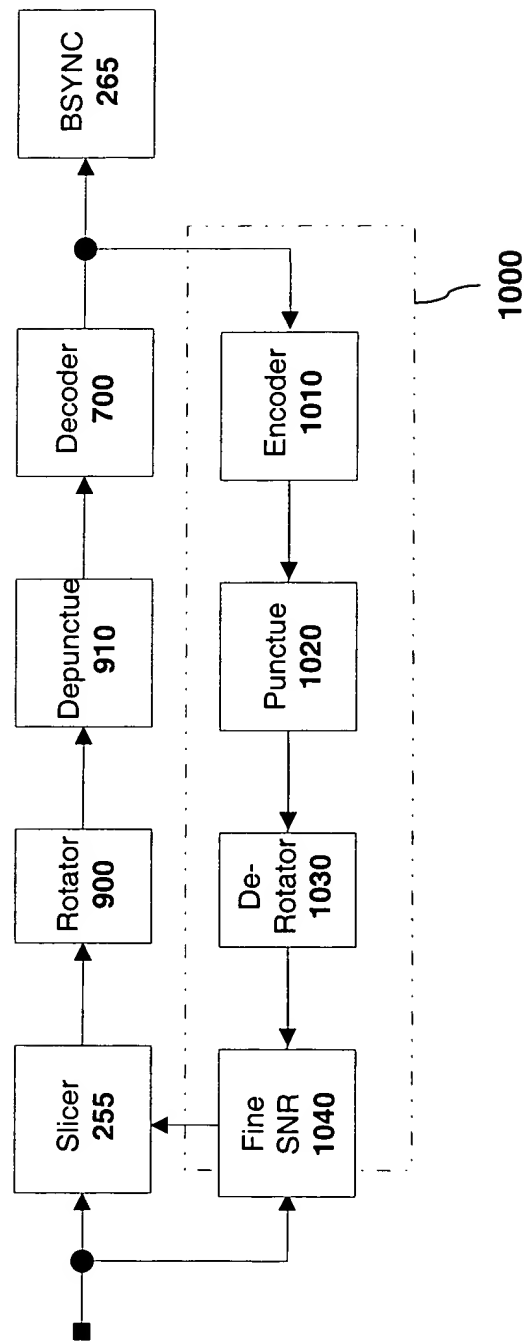
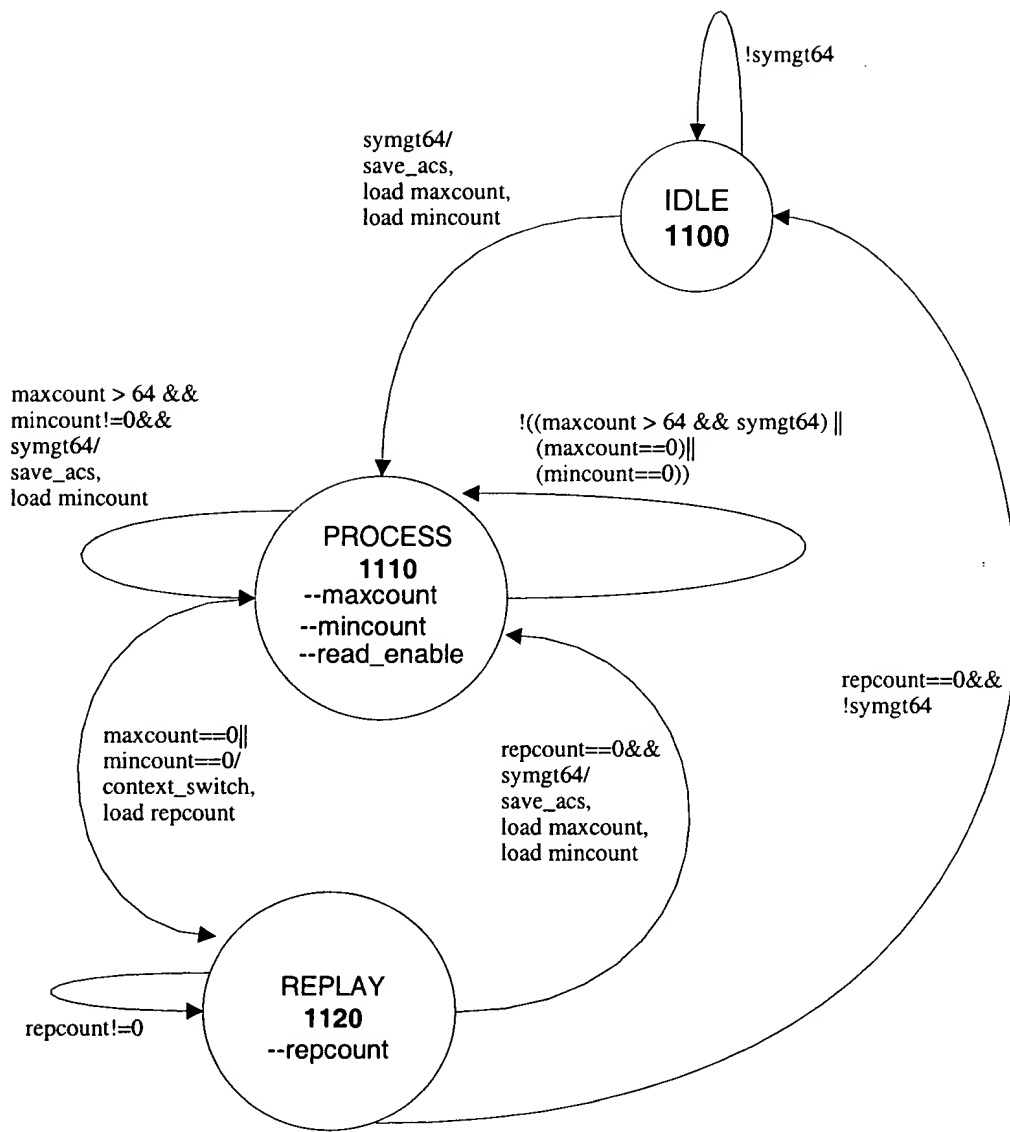


Fig. 10



**Fig. 11**

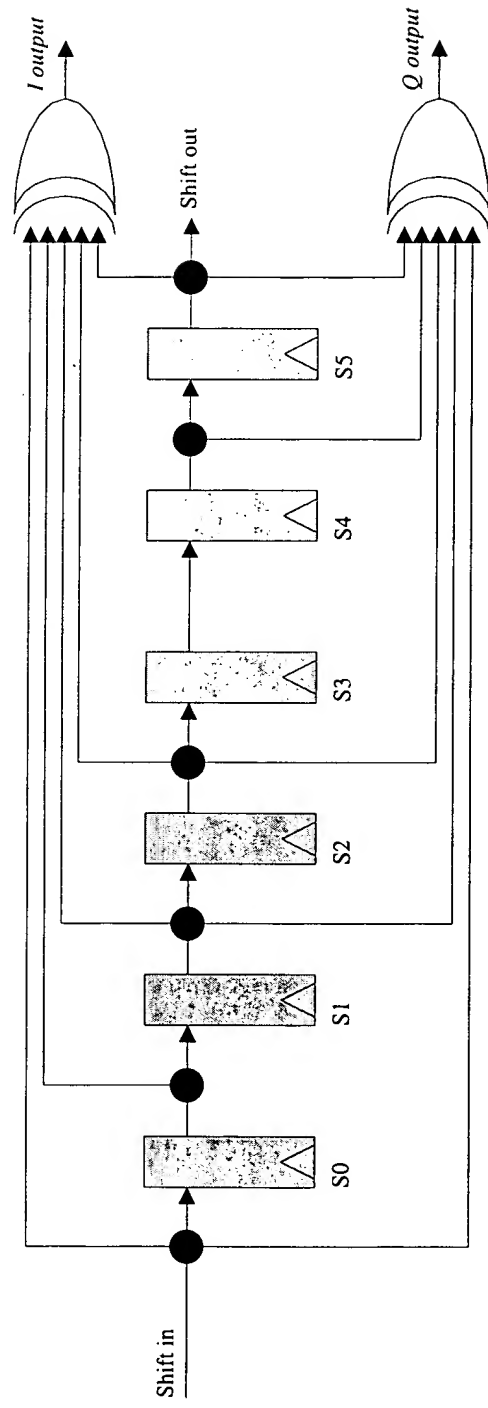


Fig. 12

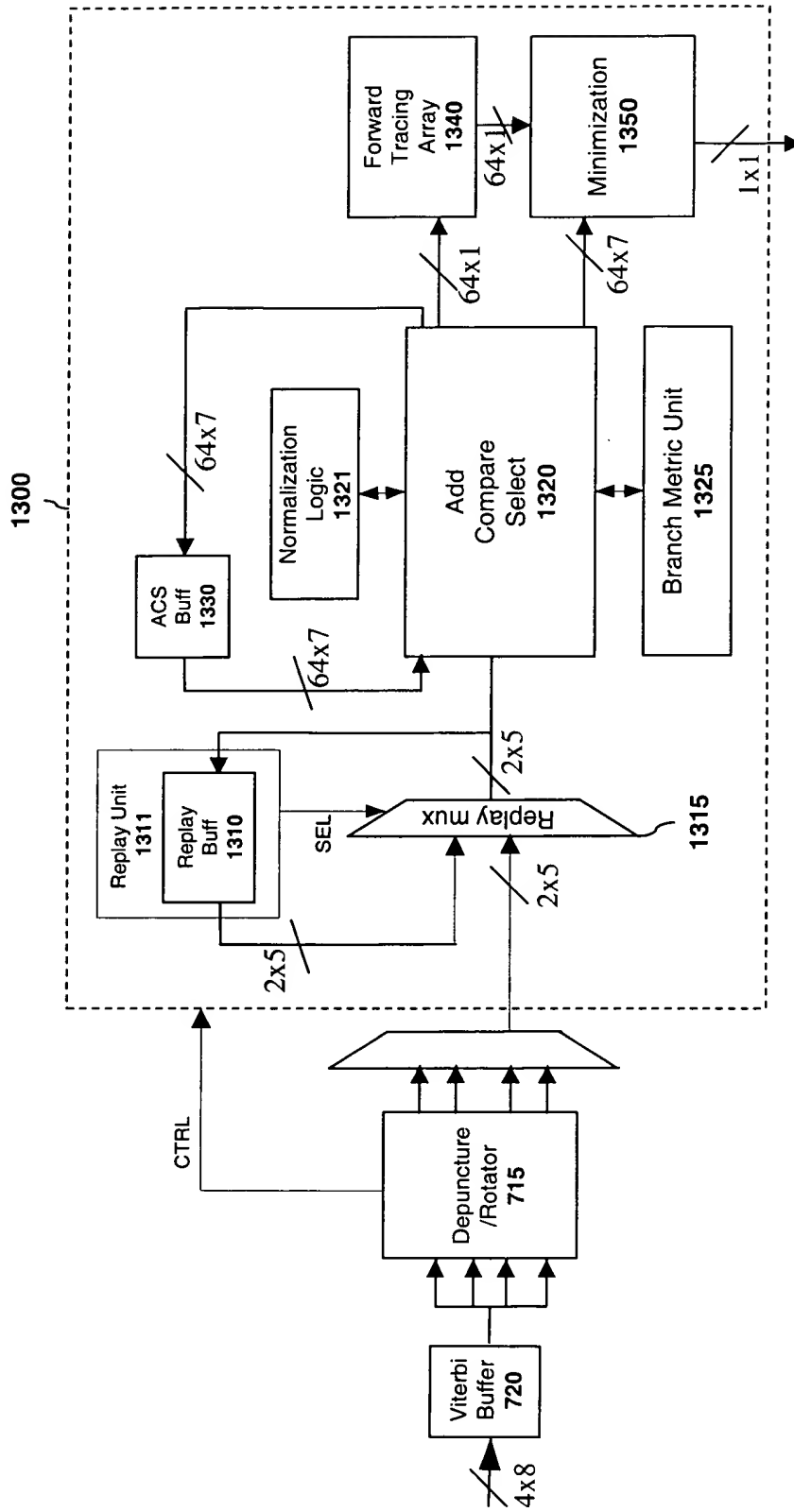
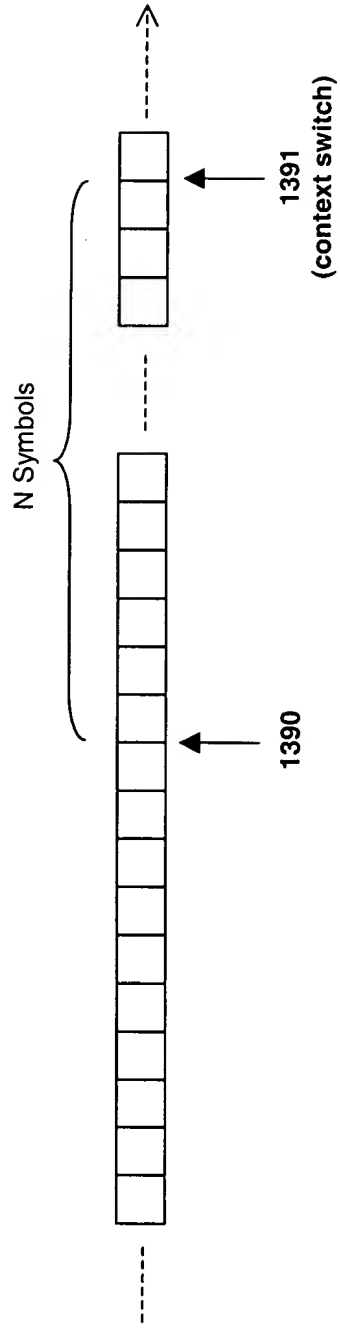


Fig. 13a





**Fig. 13b**

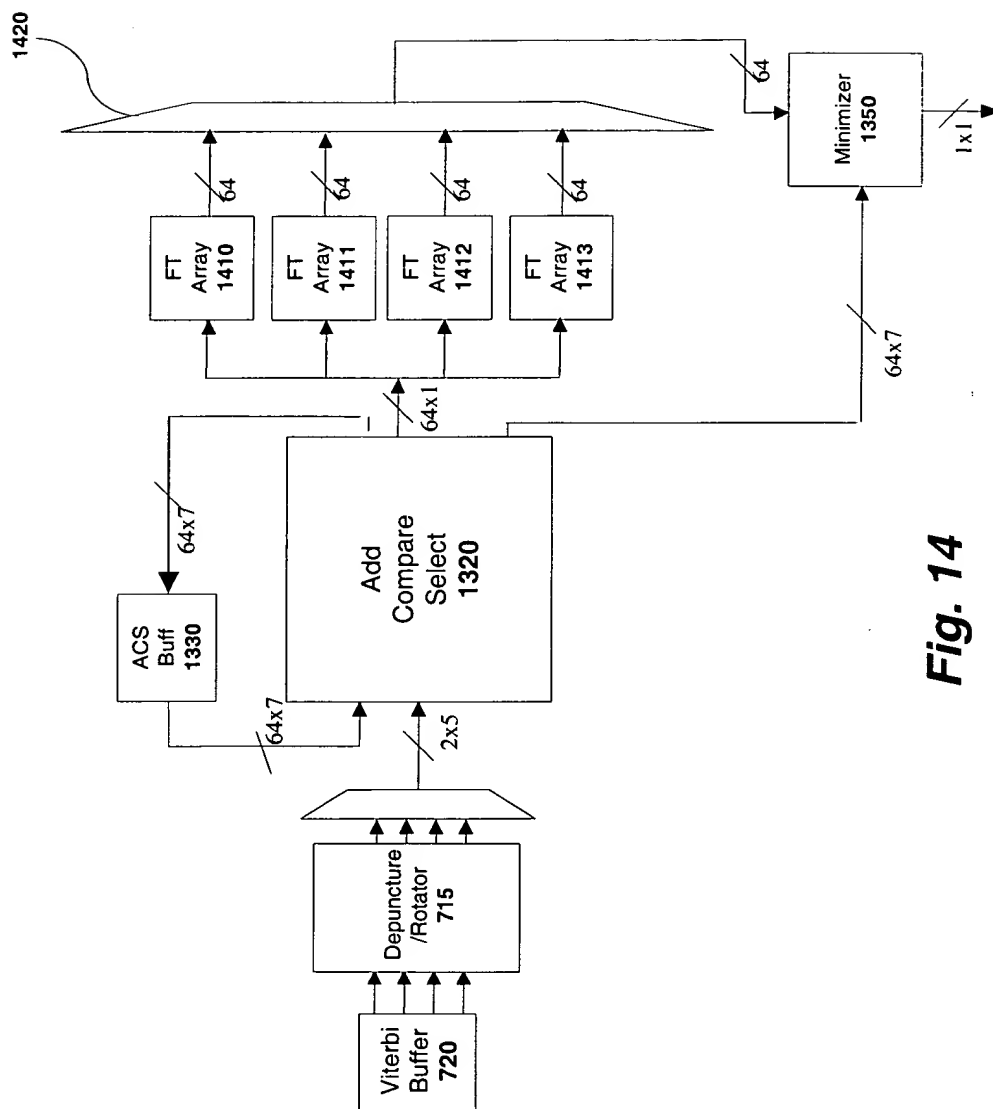
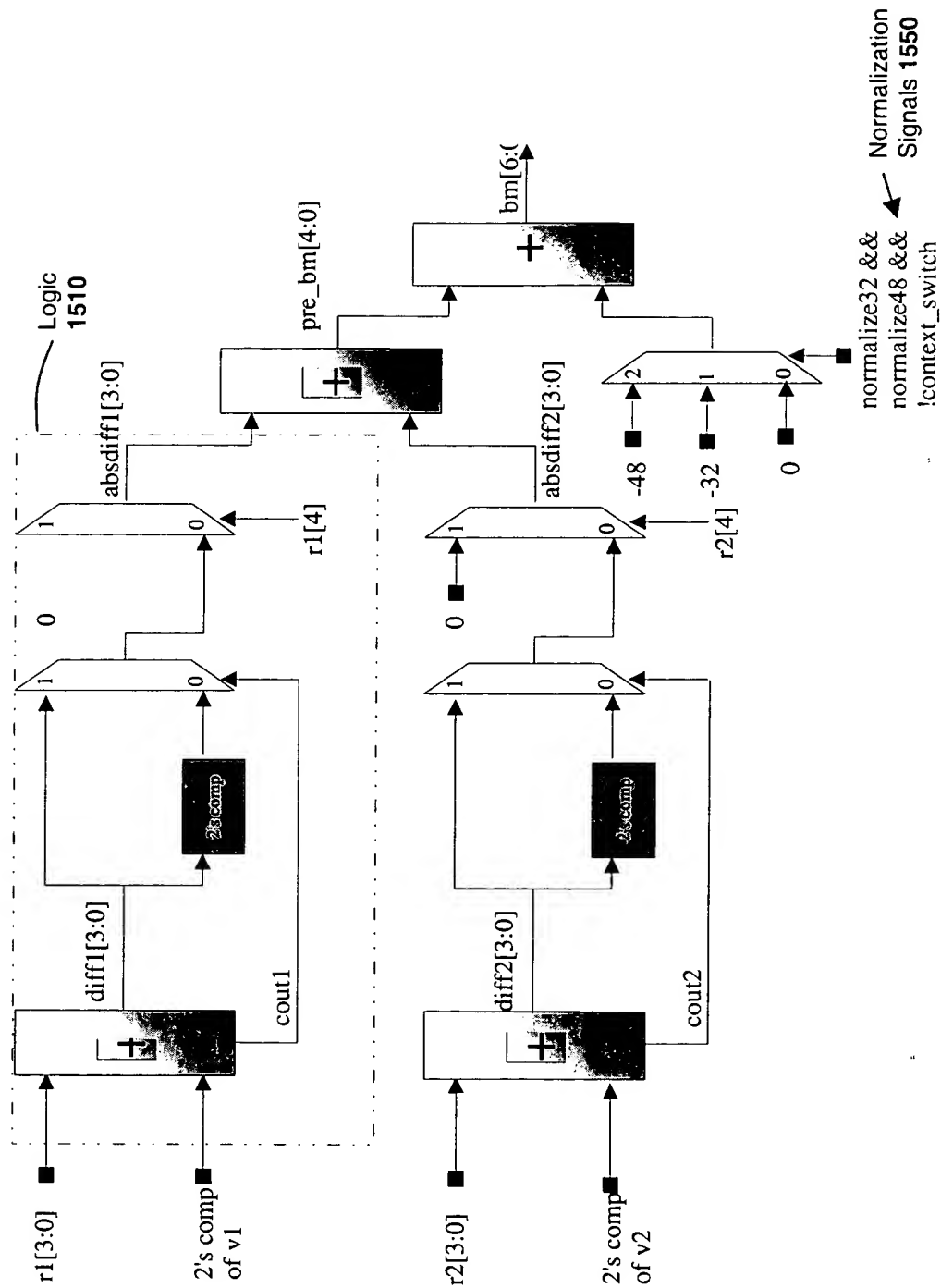


Fig. 14



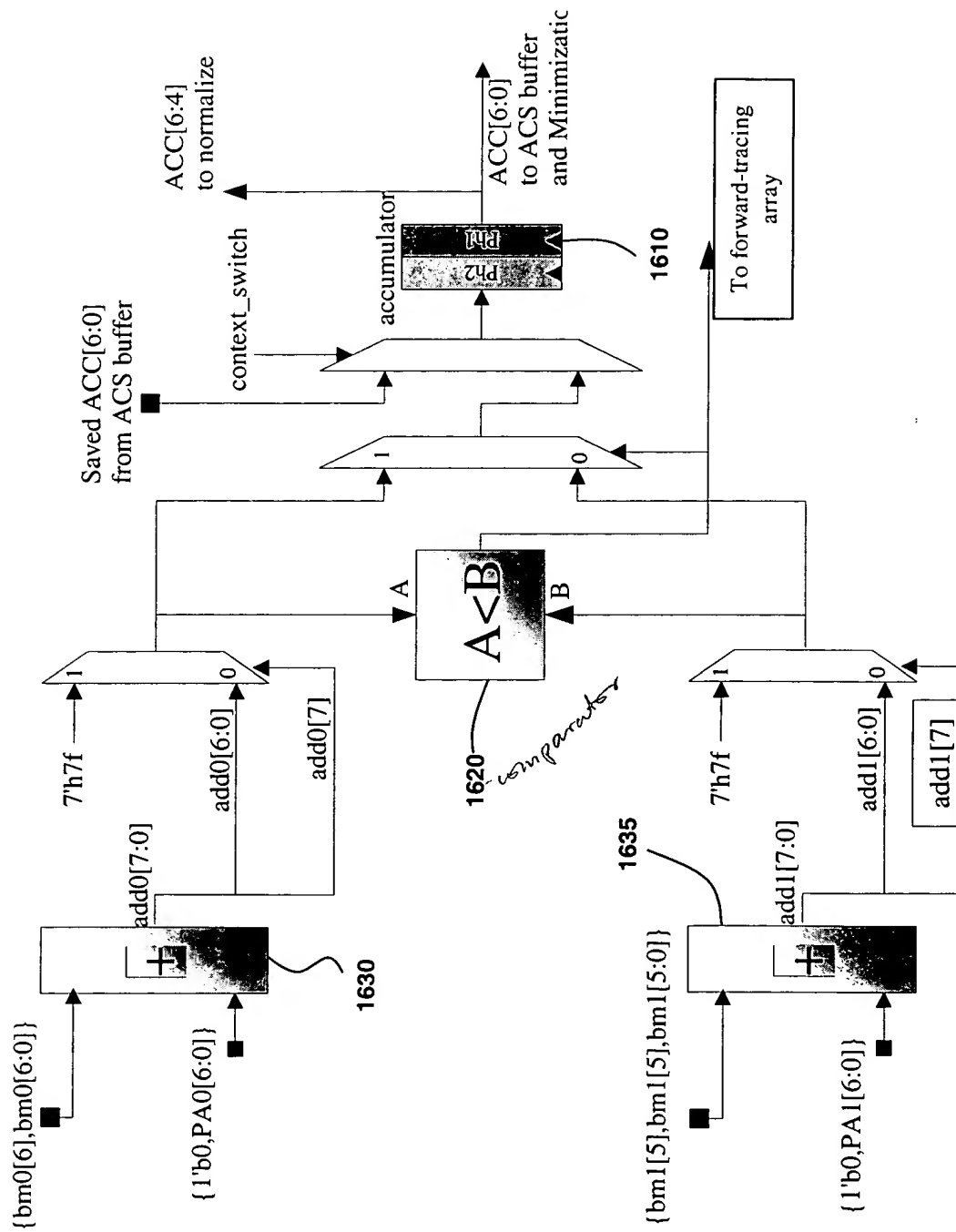


Fig. 16

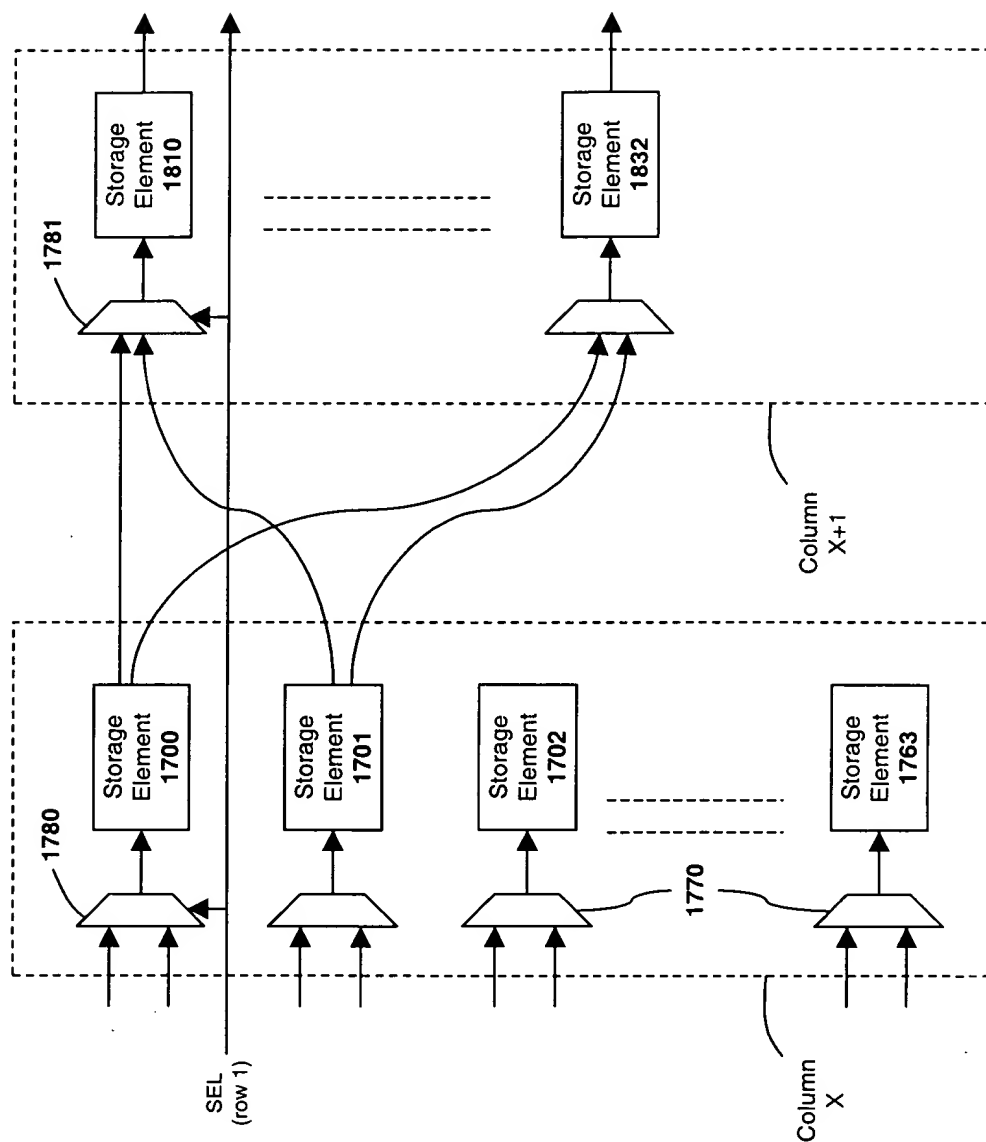
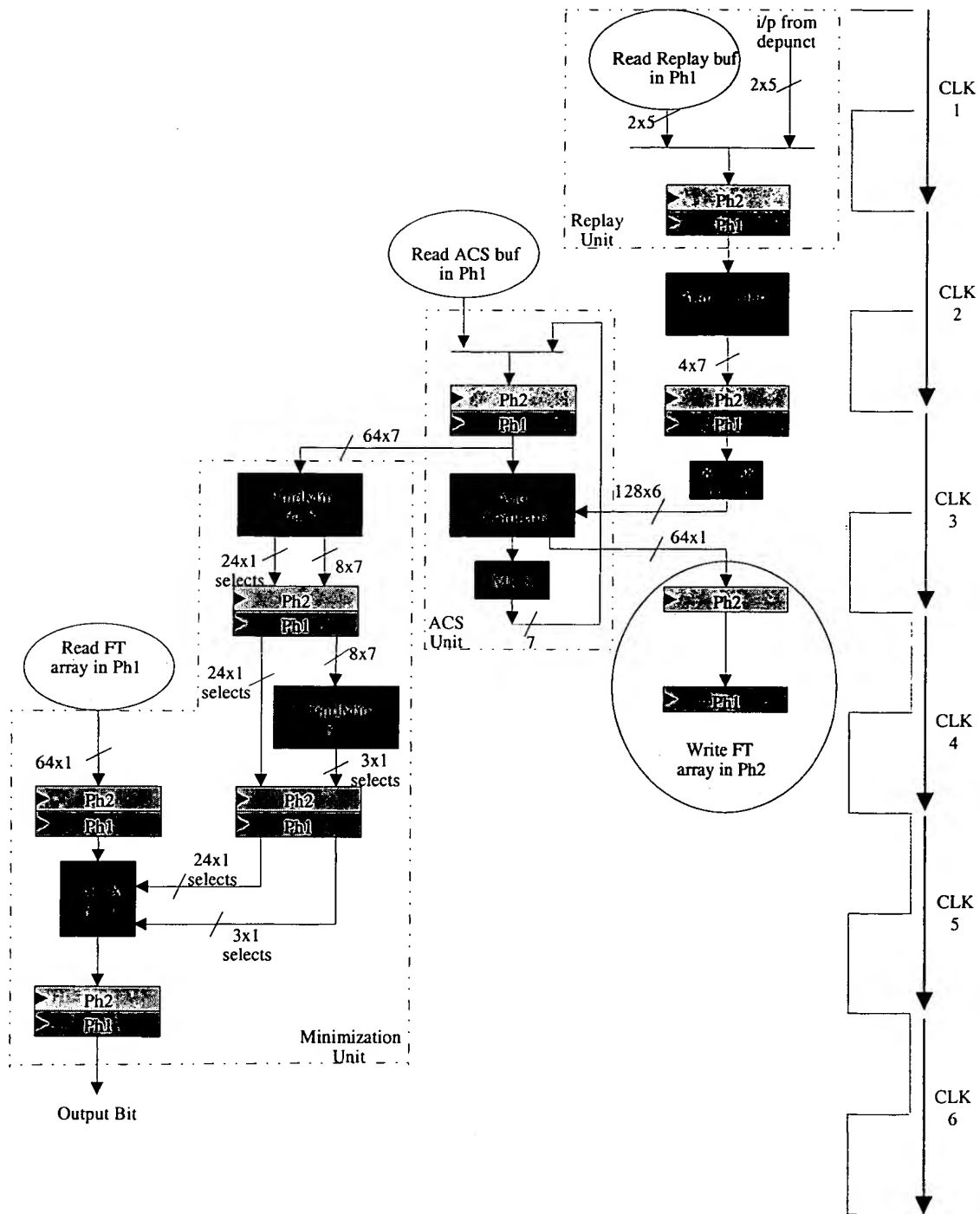


Fig. 17



**Fig. 18**

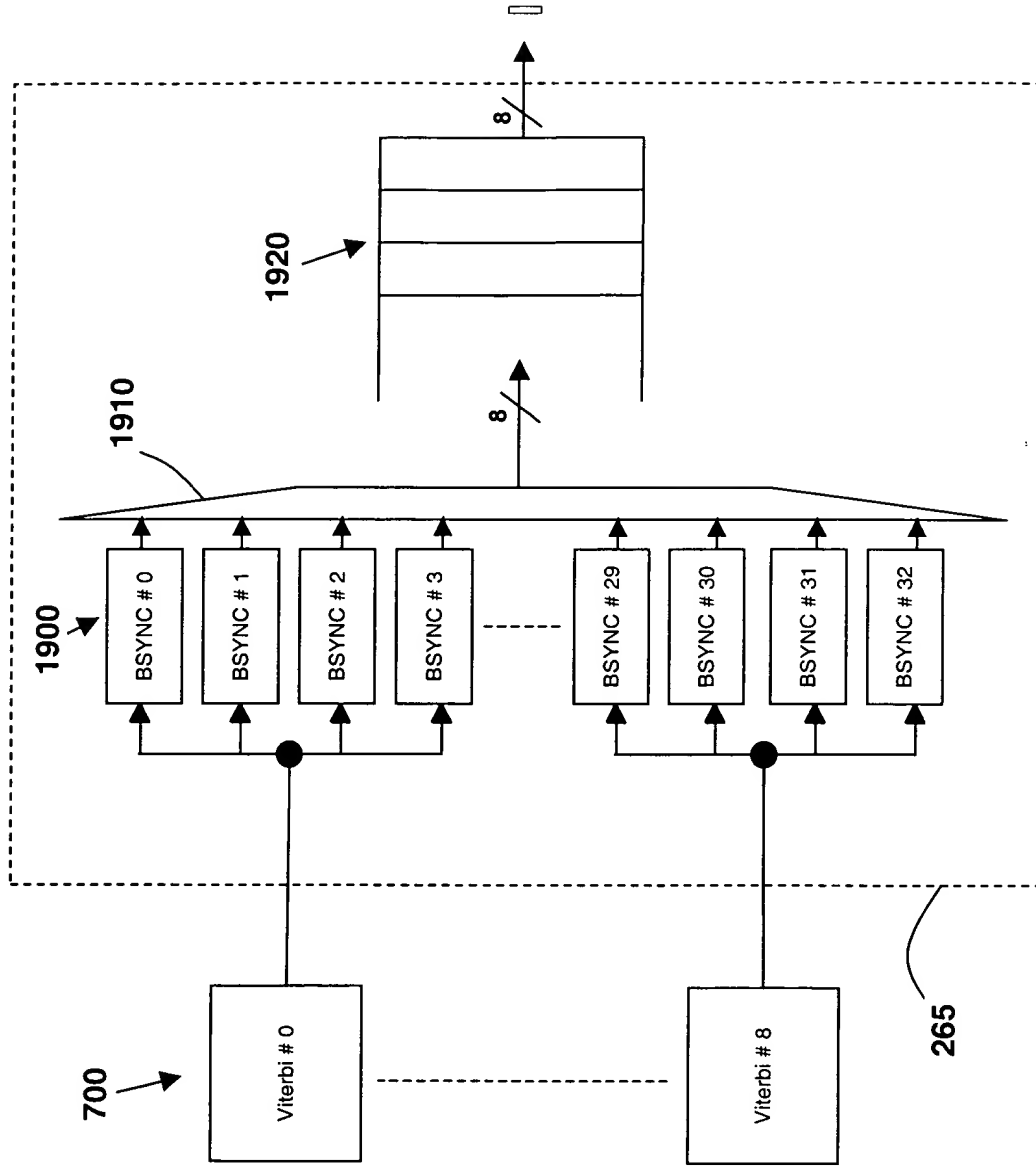


Fig. 19

102T60" 24555660

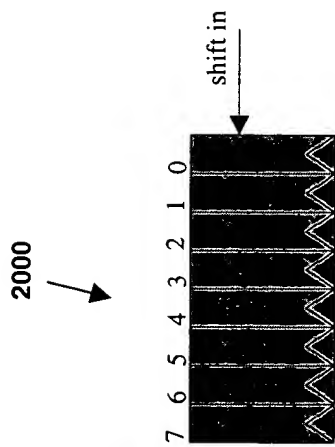


Fig. 20



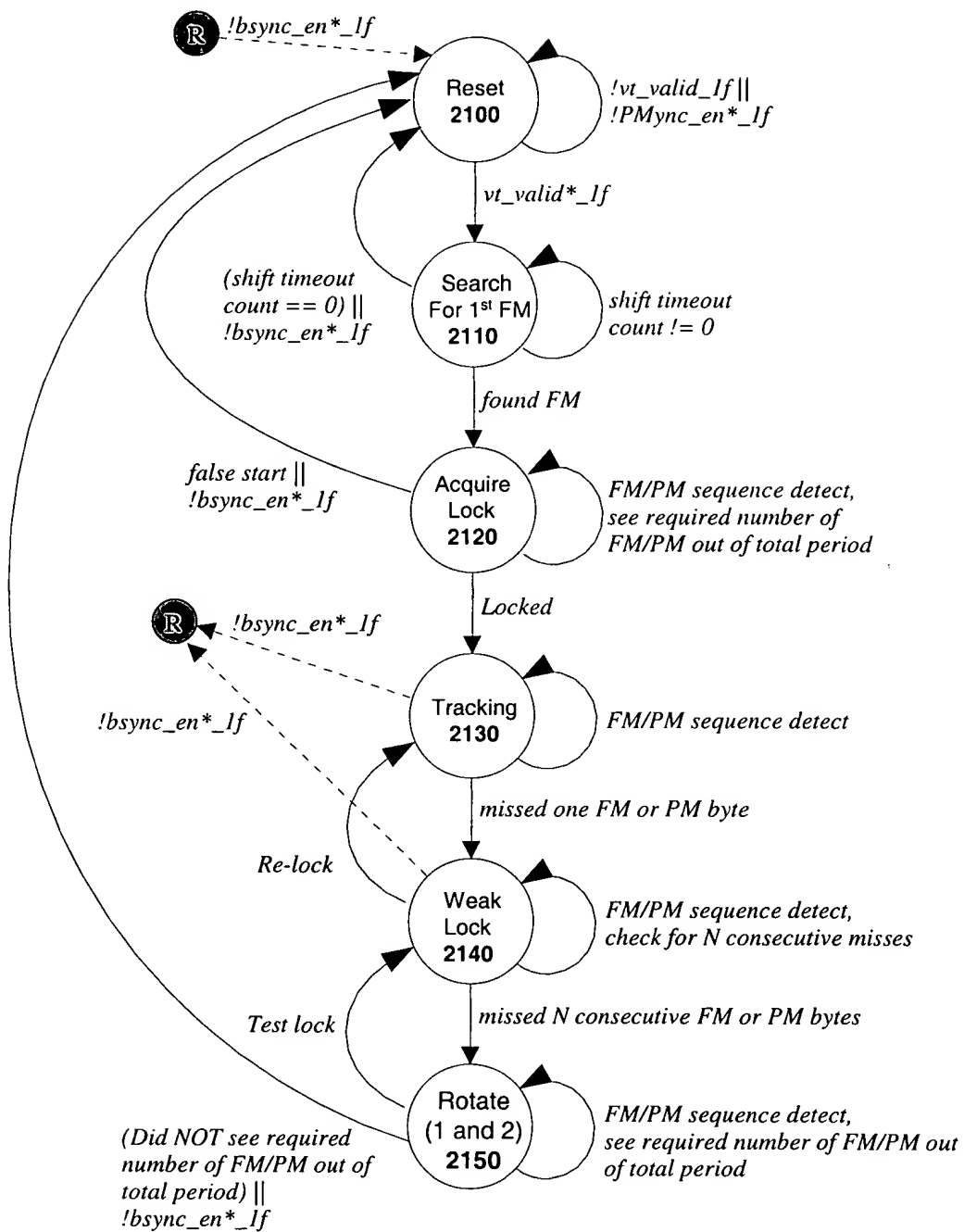


Fig. 21

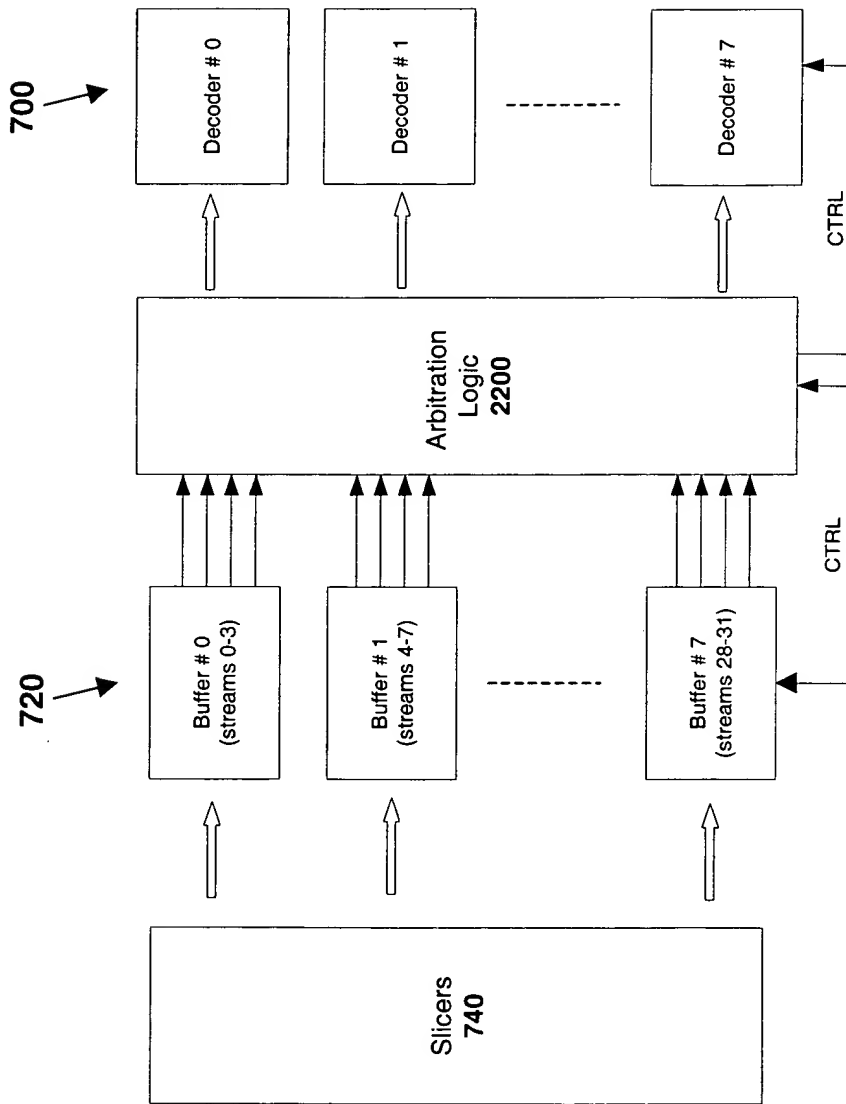


Fig. 22

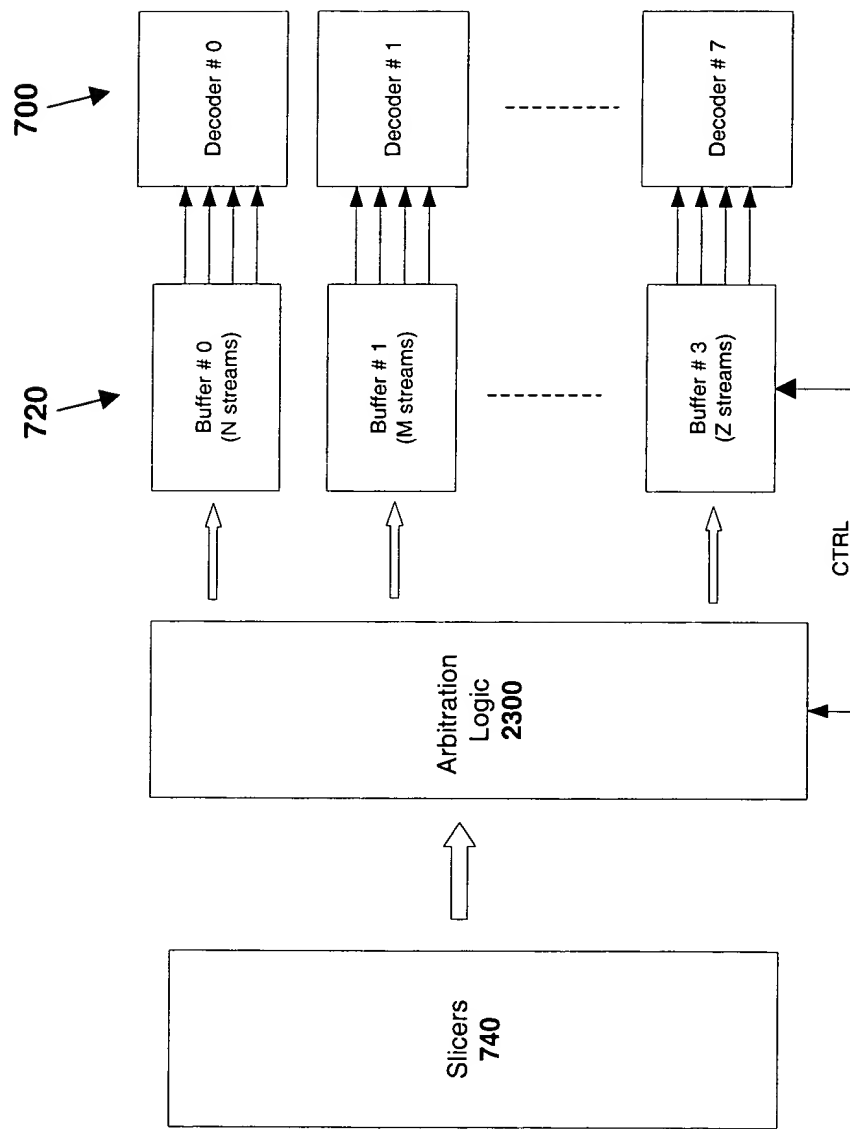


Fig. 23

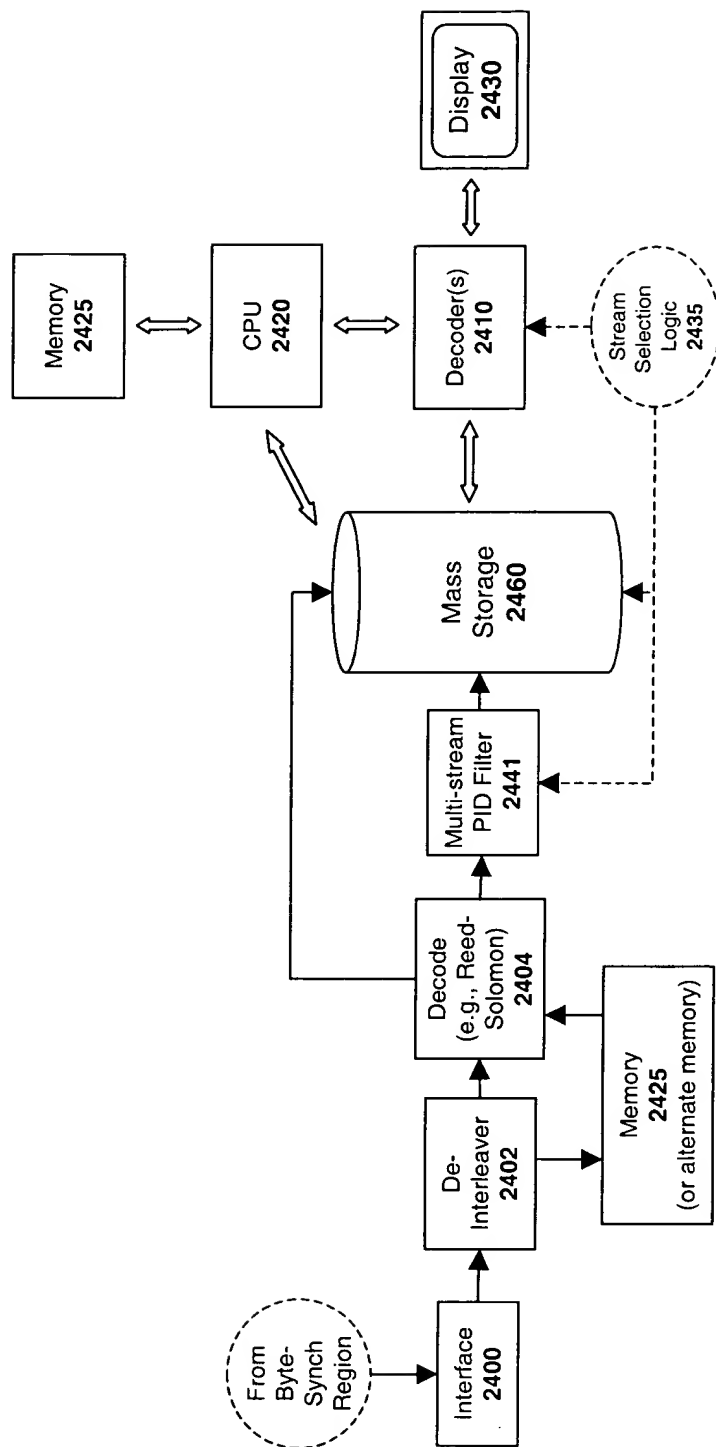


Fig. 24